

TRANSFERT ET CHAOS***-Cryptographie d'un message par synchronisation
de deux oscillateurs chaotiques de Chua-****Plan de la présentation :*

- I- L'oscillateur chaotique et la synchronisation**
 - A. Etude de l'oscillateur de Chua*
 - B. Simulation numérique des différents régimes chaotiques*
 - C. Synchronisation théorique et expérimentale*

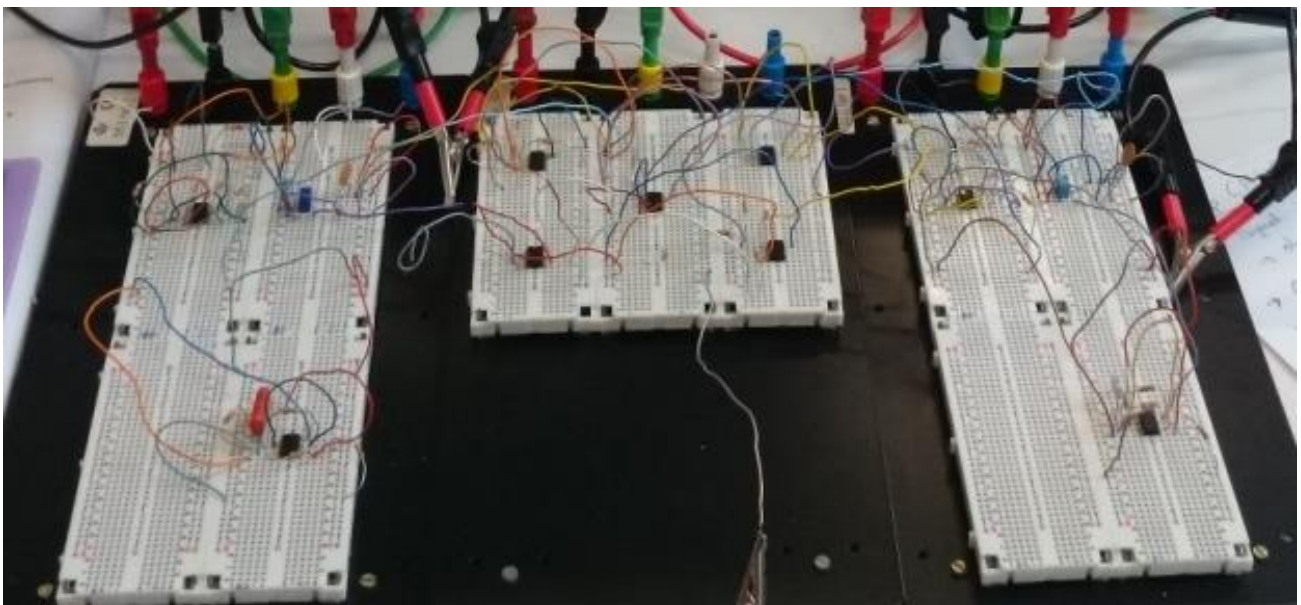
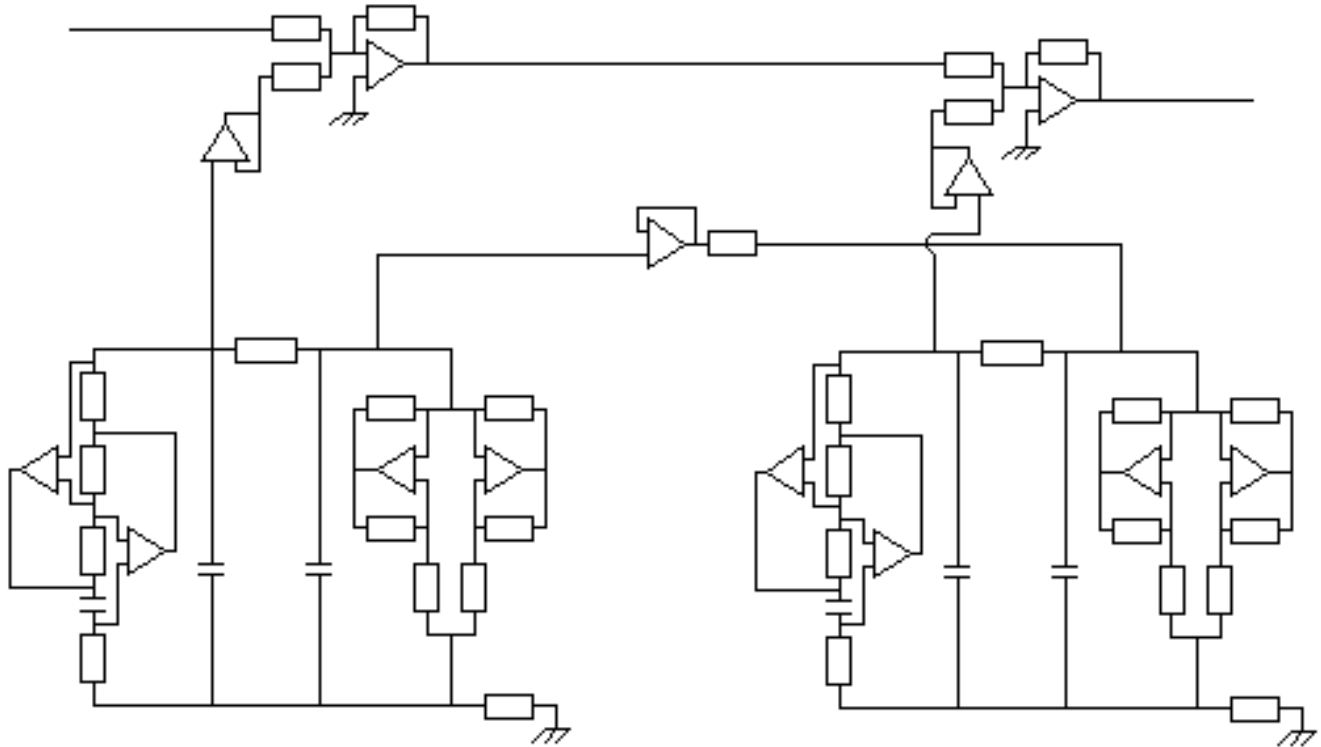
- II- Le transfert d'informations**
 - A. Principe du montage*
 - B. Résultats expérimentaux : transmission d'un message*
 - C. Simulation numérique et confrontation à l'expérience*

- III- La sécurité du cryptage**
 - A. La stéganographie*
 - B. Mise en défaut de la sécurité*
 - C. Propositions de solutions*

Annexes :

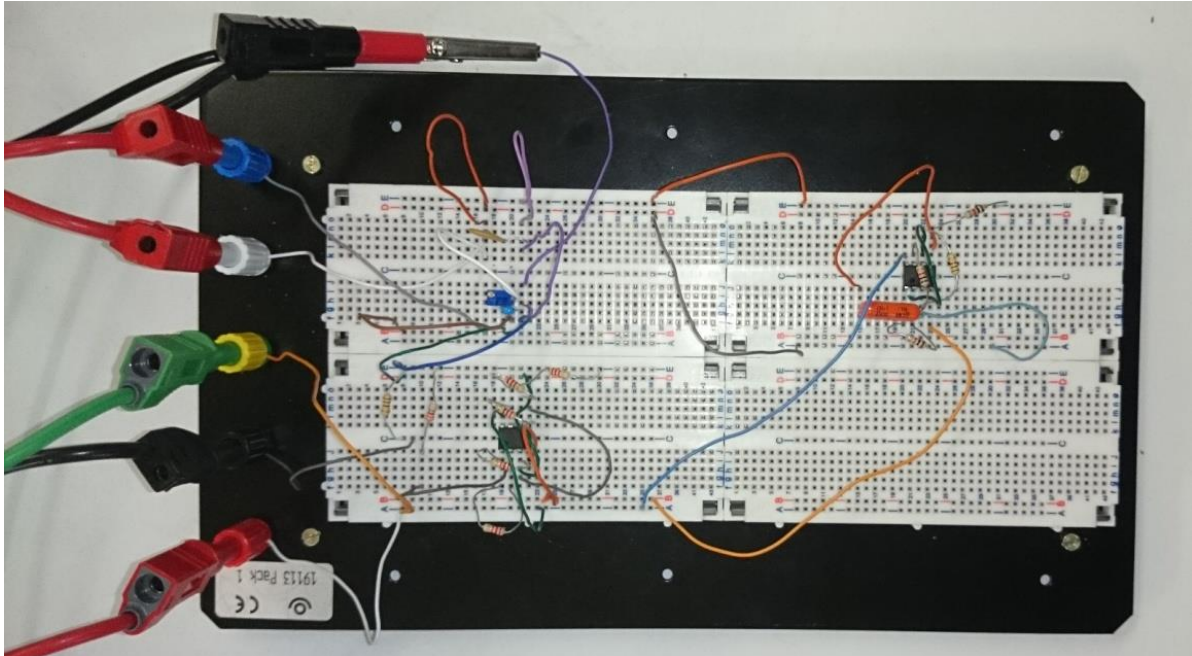
- *Schéma du montagepage 2*
- *Photos du dispositif expérimental.....pages 3 à 5*
- *Synchronisation théorique.....pages 6 à 9*
- *Procédures Maplepages 10 à 15*

SCHEMA DU MONTAGE

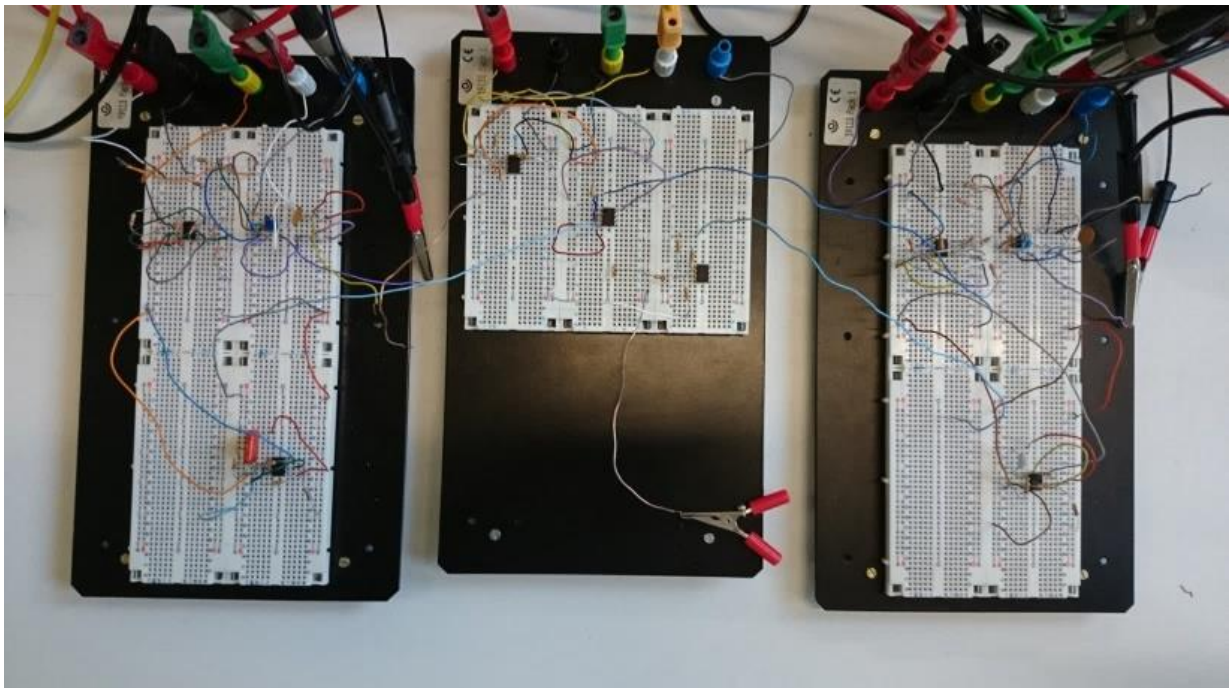


PHOTOS DU DISPOSITIF EXPERIMENTAL

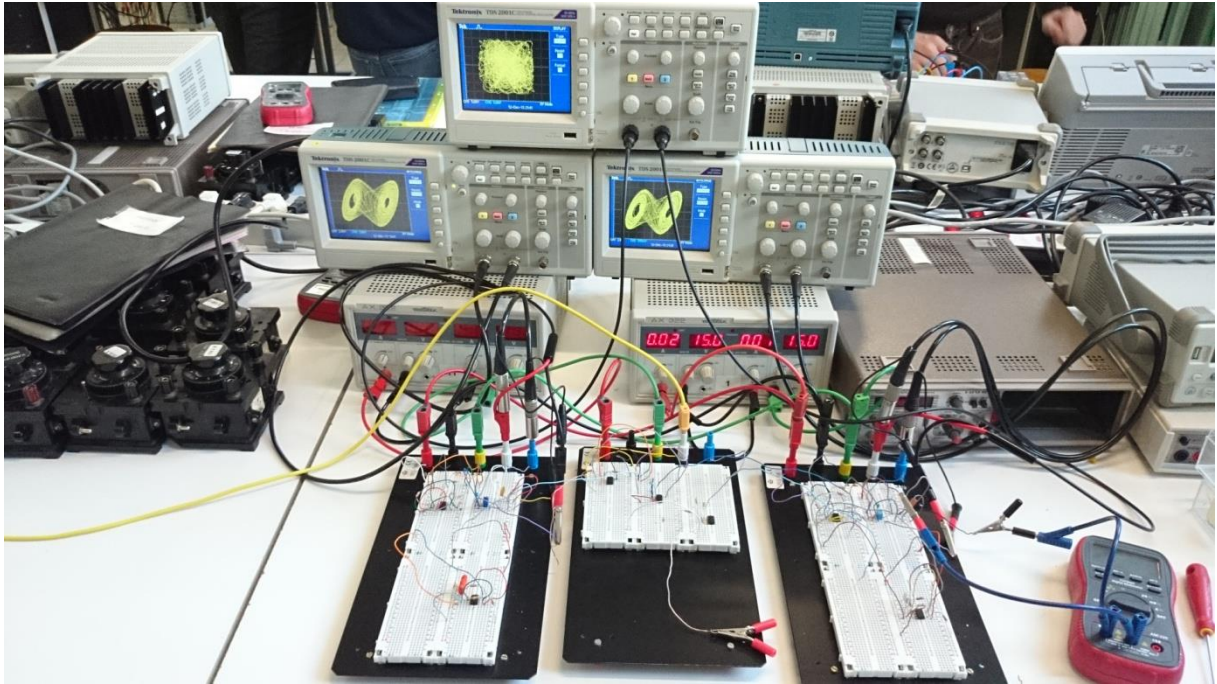
Oscillateur de Chua sur plaque à soudures sèches



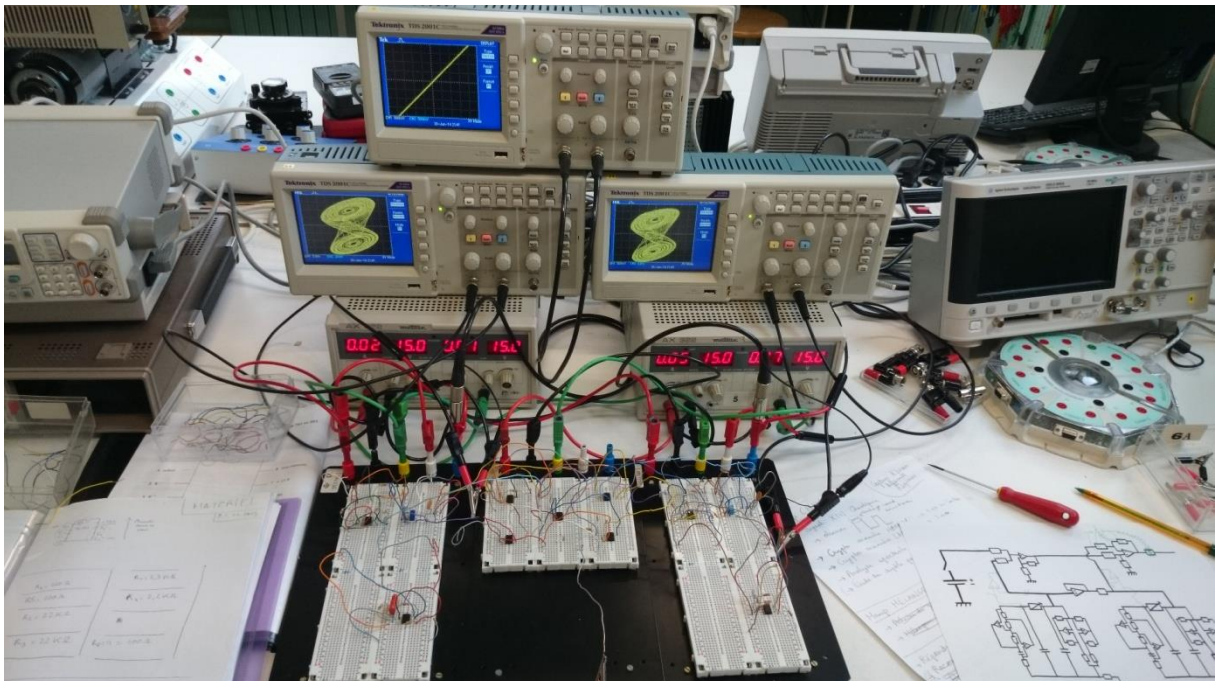
Circuit maître, montage suiveur et circuit esclave



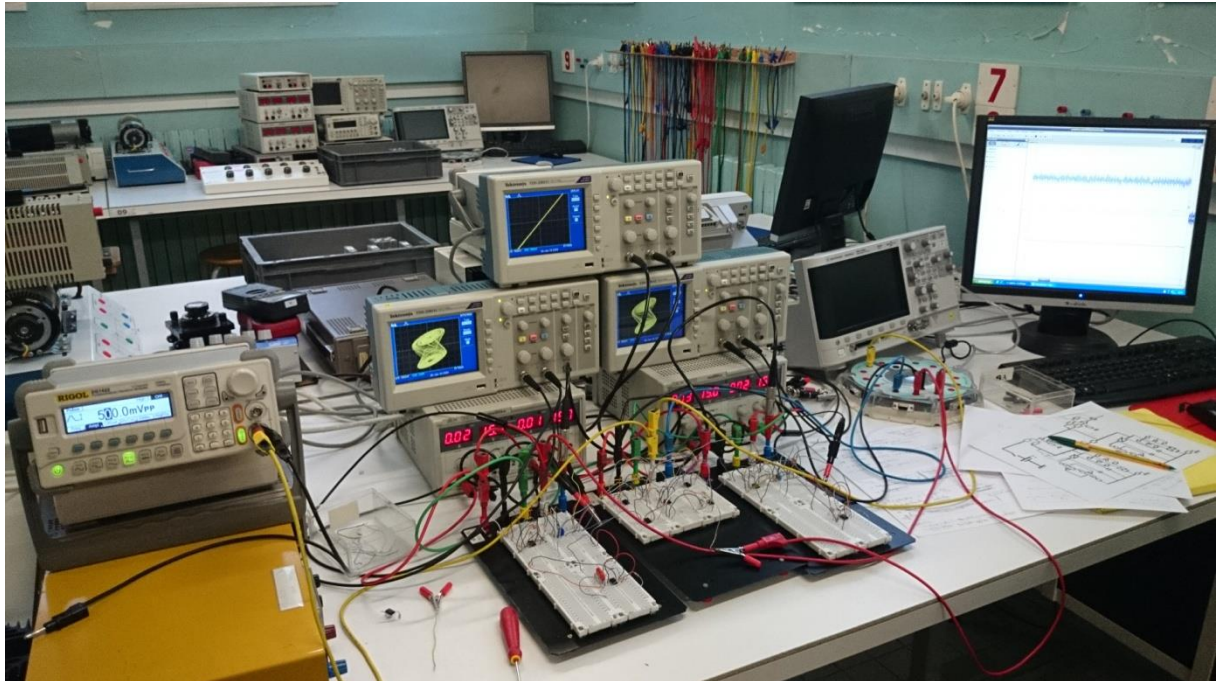
Oscillateurs non synchronisés



Oscillateurs synchronisés



Transfert d'un signal



SYNCRONISATION THEORIQUE

Le système d'équations différentielles (S1) qui caractérise l'oscillateur de Chua est :

$$(S1) \begin{cases} \frac{dU_1}{dt} = -\frac{1}{RC_1}U_1 + \frac{1}{RC_1}U_2 - \frac{1}{C_1}f(U_1) \\ \frac{dU_2}{dt} = -\frac{1}{RC_2}U_2 + \frac{1}{RC_2}U_1 + \frac{1}{C_2}i_L \\ \frac{di_L}{dt} = -\frac{1}{L}U_2 \end{cases}$$

Le changement de variable $\xi = \frac{t}{RC_2}$ permet d'établir le système (S) équivalent à (S1) :

$$(S) \begin{cases} \dot{x}_1 = \alpha(x_2 - x_1 + f(x_1)) \\ \dot{x}_2 = x_1 - x_2 + x_3 \\ \dot{x}_3 = -\beta x_2 \end{cases}$$

$$\text{Avec : } x_1 = \frac{U_1}{E} ; x_2 = \frac{U_2}{E} ; x_3 = \frac{Ri_L}{E} ; \alpha = \frac{C_2}{C_1} ; \beta = R^2 \frac{C_2}{L}$$

On pose $X(t)$ (respectivement $\hat{X}(t)$) le vecteur caractérisant le circuit maître (respectivement esclave).

$$X(t) = \begin{pmatrix} x_1 \\ x_2 \\ x_3 \end{pmatrix}, (S): \begin{pmatrix} \dot{x}_1 \\ \dot{x}_2 \\ \dot{x}_3 \end{pmatrix} = \begin{pmatrix} \alpha(x_2 - x_1 + f(x_1)) \\ x_1 - x_2 + x_3 \\ -\beta x_2 \end{pmatrix}$$

$$\hat{X}(t) = \begin{pmatrix} \hat{x}_1 \\ \hat{x}_2 \\ \hat{x}_3 \end{pmatrix}, (\hat{S}): \begin{pmatrix} \dot{\hat{x}}_1 \\ \dot{\hat{x}}_2 \\ \dot{\hat{x}}_3 \end{pmatrix} = \begin{pmatrix} \alpha(\hat{x}_2 - \hat{x}_1 + f(\hat{x}_1)) \\ \hat{x}_1 - \hat{x}_2 + \hat{x}_3 \\ -\beta \hat{x}_2 \end{pmatrix} + k(x_3 - \hat{x}_3)$$

Où k est le vecteur de rétroaction qui permet la synchronisation.

Théorème de synchronisation

On suppose que le vecteur de rétroaction dans la réponse du circuit esclave est choisi ainsi :

$$k = \begin{pmatrix} k_1 \\ k_2 \\ k_3 \end{pmatrix} = \begin{bmatrix} -1 & -\frac{1}{\beta} & -\frac{1}{\beta} \\ 0 & -\frac{1}{\beta} & 0 \\ 1 & 0 & 0 \end{bmatrix} \begin{bmatrix} 3\theta \\ 3\theta^2 \\ \theta^3 \end{bmatrix}$$

Si le paramètre θ (qui dépend des valeurs des composants des circuits) est assez grand, alors le circuit maître et le circuit esclave seront globalement synchronisés de façon asymptotique, au sens où :

$$\forall (X(0), \hat{X}(0)), \quad \lim_{t \rightarrow \infty} \hat{X}(t) - X(t) = 0$$

Démonstration

On pose :

$$z = H(X) = \begin{pmatrix} x_3 \\ \dot{x}_3 \\ \ddot{x}_3 \end{pmatrix} = \begin{pmatrix} x_3 \\ -\beta x_2 \\ -\beta x_1 + \beta x_2 - \beta x_3 \end{pmatrix}$$

$$\hat{z} = H(\hat{X}) = \begin{pmatrix} \hat{x}_3 \\ -\beta \hat{x}_2 \\ -\beta \hat{x}_1 + \beta \hat{x}_2 - \beta \hat{x}_3 \end{pmatrix}$$

Avec $M = \begin{pmatrix} 0 & 0 & 1 \\ 0 & -\beta & 0 \\ -\beta & \beta & -\beta \end{pmatrix}$ la matrice de l'application H dans la base canonique de $\mathcal{M}_{3,1}(\mathbb{R})$.

On pose $e(t) = \hat{z}(t) - z(t)$

On introduit la fonction de Lyapunov :

$$V = e^T \cdot P(\theta) \cdot e, \quad \text{avec } P(\theta) = \begin{pmatrix} \theta^{-1} & -\theta^{-2} & \theta^{-3} \\ -\theta^{-2} & 2\theta^{-3} & -3\theta^{-4} \\ \theta^{-3} & -3\theta^{-4} & 6\theta^{-5} \end{pmatrix}$$

On pose $\ddot{x}_3 = h(X) = c_1 x_1 + c_2 x_2 + c_3 x_3 - \alpha \beta f(x_1)$

Alors, d'après la définition de z :

$$\dot{z} = \begin{pmatrix} \dot{x}_3 \\ \ddot{x}_3 \\ \ddot{\ddot{x}}_3 \end{pmatrix} = \begin{pmatrix} \dot{x}_3 \\ \ddot{x}_3 \\ 0 \end{pmatrix} + \begin{pmatrix} 0 \\ 0 \\ h(X) \end{pmatrix} = \begin{pmatrix} 0 & 1 & 0 \\ 0 & 0 & 1 \\ 0 & 0 & 0 \end{pmatrix} \cdot \begin{pmatrix} x_3 \\ \dot{x}_3 \\ \ddot{x}_3 \end{pmatrix} + \begin{pmatrix} 0 \\ 0 \\ h(X) \end{pmatrix}$$

$$\text{ie } \dot{z} = Az + \begin{pmatrix} 0 \\ 0 \\ h(X) \end{pmatrix}, \quad \text{avec } A = \begin{pmatrix} 0 & 1 & 0 \\ 0 & 0 & 1 \\ 0 & 0 & 0 \end{pmatrix}$$

De même, en posant $\ddot{\hat{x}}_3 = h(\hat{X}) = c_1 \hat{x}_1 + c_2 \hat{x}_2 + c_3 \hat{x}_3 - \alpha \beta f(\hat{x}_1)$, on a :

$$\dot{\hat{z}} = A\hat{z} + \begin{pmatrix} 0 \\ 0 \\ h(\hat{X}) \end{pmatrix} + Mk(x_3 - \hat{x}_3)$$

Alors on a :

$$|h(\hat{X}) - h(X)| = |c_1(\hat{x}_1 - x_1) + c_2(\hat{x}_2 - x_2) + c_3(\hat{x}_3 - x_3) - \alpha \beta (f(\hat{x}_1) - f(x_1))|$$

D'où, d'après l'inégalité triangulaire et l'inégalité de Cauchy-Schwarz :

$$|h(\hat{X}) - h(X)| \leq \eta \|\hat{X} - X\|, \quad \text{avec } \eta = (c_1^2 + c_2^2 + c_3^2)^{\frac{1}{2}} - \alpha \beta$$

$$\text{On a : } M^{-1} = \begin{pmatrix} -1 & -\frac{1}{\beta} & -\frac{1}{\beta} \\ 0 & -\frac{1}{\beta} & 0 \\ 1 & 0 & 0 \end{pmatrix} \quad \text{et} \quad P(\theta)^{-1} = \begin{pmatrix} 3\theta & 3\theta^2 & \theta^3 \\ 3\theta^2 & 5\theta^3 & 2\theta^4 \\ \theta^3 & 2\theta^4 & \theta^5 \end{pmatrix}$$

D'où : $k = M^{-1}P(\theta)^{-1} \begin{pmatrix} 1 \\ 0 \\ 0 \end{pmatrix}$

Donc :

$$\dot{\hat{z}} = A\hat{z} + \begin{pmatrix} 0 \\ 0 \\ h(\hat{X}) \end{pmatrix} + P(\theta)^{-1}B(z - \hat{z}), \quad \text{avec } B = \begin{pmatrix} 1 \\ 0 \\ 0 \end{pmatrix} \cdot \begin{pmatrix} 1 \\ 0 \\ 0 \end{pmatrix}^T = \begin{pmatrix} 1 & 0 & 0 \\ 0 & 0 & 0 \\ 0 & 0 & 0 \end{pmatrix}$$

Finalement,

$$\dot{e} = \dot{\hat{z}} - \dot{z} = A\hat{z} + \begin{pmatrix} 0 \\ 0 \\ h(\hat{X}) \end{pmatrix} + P(\theta)^{-1}B(z - \hat{z}) - Az - \begin{pmatrix} 0 \\ 0 \\ h(X) \end{pmatrix}$$

$$\text{ie } \dot{e} = (A + P(\theta)^{-1}B)e + \begin{pmatrix} 0 \\ 0 \\ h(\hat{X}) - h(X) \end{pmatrix}$$

$$\dot{V} = e^T(A^T P(\theta) + P(\theta)A - 2B)e + 2e^T P(\theta) \begin{pmatrix} 0 \\ 0 \\ h(\hat{X}) - h(X) \end{pmatrix}$$

On vérifie que :

$$A^T P(\theta) + P(\theta)A - B = -\theta P(\theta)$$

$$\text{D'où : } \dot{V} = -\theta e^T P(\theta)e - ((1 \ 0 \ 0)e)^2 + 2e^T P(\theta) \begin{pmatrix} 0 \\ 0 \\ h(\hat{X}) - h(X) \end{pmatrix}$$

On pose : $\|e\|_{P(\theta)} = \sqrt{e^T P(\theta)e}$ (car $P(\theta)$ est définie positive), et $P(\theta) = \sum_{i,j=1}^3 p_{i,j}(\theta)$

Alors on a :

$$\dot{V} \leq -\theta \|e\|_{P(\theta)}^2 + 2\|e\|_{P(\theta)} \sqrt{p_{33}(\theta)} |h(\hat{X}) - h(X)|$$

$$\text{Or } \dot{V} = 2\|e\|_{P(\theta)} \frac{d}{dt} (\|e\|_{P(\theta)})$$

D'où :

$$\frac{d}{dt} (\|e\|_{P(\theta)}) \leq -\frac{\theta}{2} \|e\|_{P(\theta)} + \sqrt{p_{33}(\theta)} |h(\hat{X}) - h(X)|$$

On note :

$$\mu = \|M^{-1}\|$$

On a montré que :

$$|h(\hat{X}) - h(X)| \leq \eta \|\hat{X} - X\|$$

$$\text{De plus, } \|\hat{X} - X\| \leq \mu \|e\|$$

On note λ_1 la valeur propre de $P(1)$ la plus petite ($\lambda_1 = 4 - \sqrt{15}$).

Alors, d'après le théorème de Courant-Fischer,

$$\|e\| \leq \frac{1}{\sqrt{\lambda_1}} \|e\|_{P(1)}$$

De plus, $\|e\|_{P(1)}^2 = \sum_{i,j=1}^3 e_i p_{i,j}(\theta) e_j$

D'où, pour $\theta \geq 1$, $\|e\|_{P(1)}^2 \leq \theta^5 \sum_{i,j=1}^3 e_i p_{i,j}(\theta) e_j \frac{1}{\theta^{i+j-1}}$

ie pour $\theta \geq 1$, $\|e\|_{P(1)}^2 \leq \theta^5 \|e\|_{P(\theta)}^2$

Finalemnt :

$$\frac{d}{dt} (\|e\|_{P(\theta)}) \leq - \left(\frac{\theta}{2} - \eta\mu \sqrt{\frac{p_{33}(1)}{\lambda_1}} \right) \|e\|_{P(\theta)}$$

On pose $\eta\mu \sqrt{\frac{p_{33}(1)}{\lambda_1}} = \rho$ (ρ est une constante indépendante du temps).

On suppose $\theta \geq \rho$, alors :

$$\|e(t)\|_{P(\theta)} \leq \|e(0)\|_{P(\theta)} \exp\left(-\frac{1}{2}(\theta - \rho)t\right)$$

Or $\|\hat{X}(t) - X(t)\| \leq \mu \|e(t)\|$

Et en notant λ_θ la valeur propre la plus petite de $P(\theta)$, le théorème de Courant-Fischer

donne : $\|e(t)\| \leq \lambda_\theta^{-1/2} \|e(t)\|_{P(\theta)}$

Puis :

$$\|\hat{X}(t) - X(t)\| \leq \mu \lambda_\theta^{-1/2} \|e(0)\|_{P(\theta)} \exp\left(-\frac{1}{2}(\theta - \rho)t\right)$$

D'où :

$$\|\hat{X}(t) - X(t)\| \rightarrow 0$$

Finalemnt,

$$\forall (X(0), \hat{X}(0)), \lim_{t \rightarrow \infty} \hat{X}(t) - X(t) = 0,$$

donc les deux oscillateurs sont bien synchronisés.

```

> restart;
> with(plots) :
>
# GRANDEURS CARACTERISTIQUES DU DIPOLE PASSIF MASTER (1)

> C11 := 4.7·10-9 :
C21 := 47·10-9 :
R0 := 0 :
L1 := 10·10-3 :

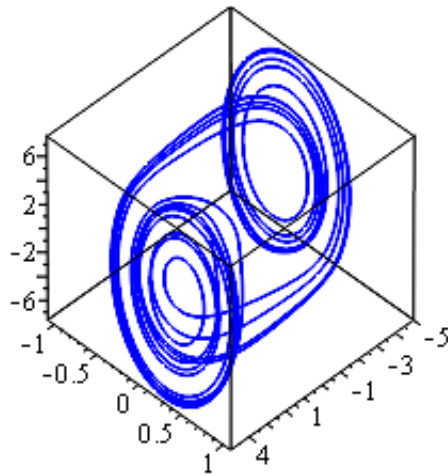
>
# VALEUR DE LA RESISTANCE VARIABLE (1)

> R1 := 1850 :

>
# SIMULATION

> alpha1 :=  $\frac{C21}{C11}$  :
beta1 :=  $\frac{R1^2 \cdot C21}{L1}$  :
g1 :=  $\frac{R1 \cdot R0 \cdot C21}{L1}$  :
mb := -0.411 :
ma := -0.767 :
b1 := R1 · mb · 10-3 :
a1 := R1 · ma · 10-3 :
f1 :=  $x \rightarrow b1 \cdot x + \frac{1}{2} \cdot (a1 - b1) \cdot (\text{abs}(x + 1) - \text{abs}(x - 1))$  :
Ini1 := x(0) = 1, y(0) = 0, z(0) = 0 :
E11 := -diff(x(t), t) + alpha1 · (y(t) - x(t) - f1(x(t))) :
E21 := -diff(y(t), t) + x(t) - y(t) + z(t) :
E31 := -diff(z(t), t) - beta1 · y(t) - g1 · z(t) :
Sol1 := dsolve({E11, E21, E31, Ini1}, numeric) :
graphe1 := [seq([subs(Sol1( $\frac{k}{100}$ ), x(t)), subs(Sol1( $\frac{k}{100}$ ), y(t)), subs(Sol1( $\frac{k}{100}$ ),
z(t))], k=0..4000)]:
spacecurve(graphe1);

```



>

GRANDEURS CARACTERISTIQUES DU DIPOLE PASSIF SLAVE (2)

> $C12 := 4.7 \cdot 10^{-9}$;

$C22 := 47 \cdot 10^{-9}$;

$R0 := 0$;

$L2 := 10 \cdot 10^{-3}$;

$alpha2 := \frac{C22}{C12}$;

$beta2 := \frac{R2^2 \cdot C22}{L2}$;

$g2 := \frac{R2 \cdot R0 \cdot C22}{L2}$;

> $alpha2 := \frac{C22}{C12}$;

$beta2 := \frac{R2^2 \cdot C22}{L2}$;

$g2 := \frac{R2 \cdot R0 \cdot C22}{L2}$;

$mb := -0.411$;

$ma := -0.767$;

$b2 := R2 \cdot mb \cdot 10^{-3}$;

$a2 := R2 \cdot ma \cdot 10^{-3}$;

> $f2 := x \rightarrow b2 \cdot x + \frac{1}{2} \cdot (a2 - b2) \cdot (\text{abs}(x + 1) - \text{abs}(x - 1))$;

>

VALEUR DE LA RESISTANCE VARIABLE (2)

> $R2 := 1900$;

SYNCHRONISATION

> theta := 'theta':

> theta := 20 :

> $K := \left\langle \left\langle -1 - \frac{g2}{beta2}, -\frac{g2}{beta2}, 1 \right\rangle \left\langle -\frac{1+g2}{beta2}, -\frac{1}{beta2}, 0 \right\rangle \left\langle -\frac{1}{beta2}, 0, 0 \right\rangle \right\rangle \cdot \langle 3 \cdot \text{theta}, 3 \cdot \theta^2, \theta^3 \rangle;$

$$K := \begin{bmatrix} -\frac{10218020}{16967} \\ -\frac{1200000}{16967} \\ 60 \end{bmatrix}$$

(1)

> k1 := K[1]:

k2 := K[2]:

k3 := K[3]:

> $EE1 := -diff(xss(t), t) + alpha2 \cdot (-xss(t) + yss(t) - f2(xss(t))) + k1 \cdot (z(t) - zss(t));$

$EE2 := -diff(yss(t), t) + xss(t) - yss(t) + zss(t) + k2 \cdot (z(t) - zss(t));$

$EE3 := -diff(zss(t), t) - beta2 \cdot yss(t) - g2 \cdot zss(t) + k3 \cdot (z(t) - zss(t));$

$EE1 := -\left(\frac{d}{dt} xss(t)\right) - 2.191000000 xss(t) + 10.00000000 yss(t) + 3.382000000 |xss(t) + 1|$

$- 3.382000000 |xss(t) - 1| - \frac{10218020}{16967} z(t) + \frac{10218020}{16967} zss(t)$

$EE2 := -\left(\frac{d}{dt} yss(t)\right) + xss(t) - yss(t) + \frac{1216967}{16967} zss(t) - \frac{1200000}{16967} z(t)$

$EE3 := -\left(\frac{d}{dt} zss(t)\right) - \frac{16967}{1000} yss(t) + 60 z(t) - 60 zss(t)$

(2)

> Iniss := xss(0) = 1, yss(0) = 0, zss(0) = 0 :

> Solsynchr := dsolve({E11, E21, E31, Ini1, EE1, EE2, EE3, Iniss}, numeric, maxfun = 0, method = classical);

Solsynchr := proc(x_classical) ... end proc

(3)

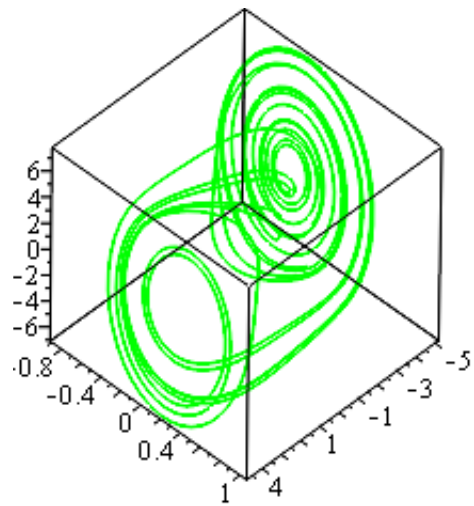
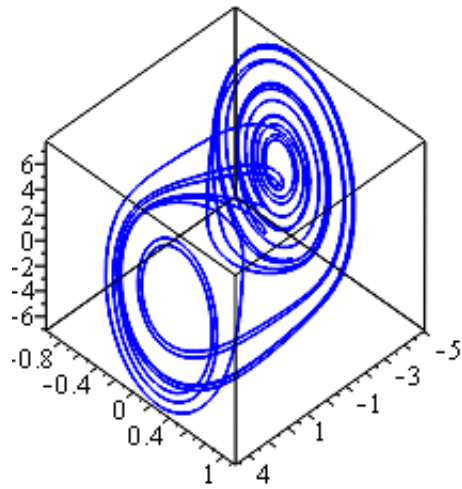
> Solsynchr(10) :

> $graphe1 := \left[seq\left(\left[subs\left(Solsynchr\left(\frac{k}{20}\right), x(t)\right), subs\left(Solsynchr\left(\frac{k}{20}\right), y(t)\right), subs\left(Solsynchr\left(\frac{k}{20}\right), z(t)\right) \right], k = 100 .. 1000 \right) \right] :$

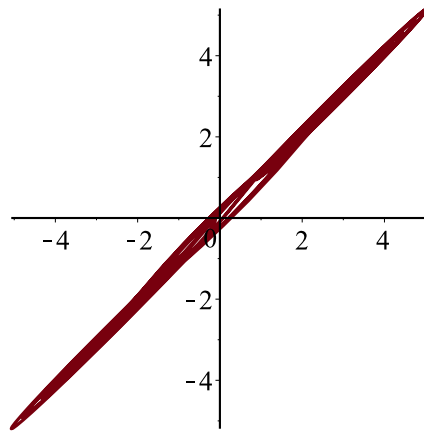
> $graphe2 := \left[seq\left(\left[subs\left(Solsynchr\left(\frac{k}{20}\right), xss(t)\right), subs\left(Solsynchr\left(\frac{k}{20}\right), yss(t)\right), subs\left(Solsynchr\left(\frac{k}{20}\right), zss(t)\right) \right], k = 100 .. 1000 \right) \right] :$

> spacecurve(graphe1, color = blue);

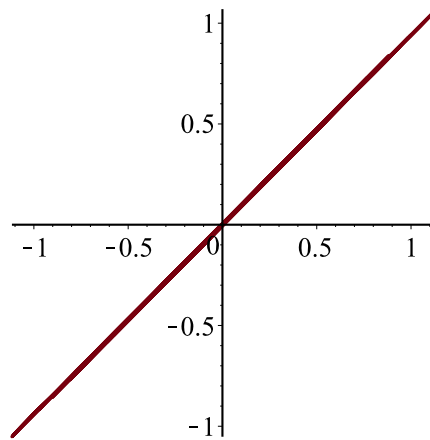
spacecurve(graphe2, color = green);



```
> plot([seq([subs(Solsynchr(k/20), x(t)), subs(Solsynchr(k/20), xss(t))], k = 3000 ..4000)]);
```



> plot([seq([subs(Solsynchr($\frac{k}{20}$), y(t)), subs(Solsynchr($\frac{k}{20}$), yss(t))], k = 3000 ..4000)]);



> plot([seq([subs(Solsynchr($\frac{k}{20}$), z(t)), subs(Solsynchr($\frac{k}{20}$), zss(t))], k = 3000 ..4000)]);

